

С.Р. Туйкина, С.И. Соловьева

О ЧИСЛЕННОМ РЕШЕНИИ ОДНОЙ ОБРАТНОЙ ЗАДАЧИ ДЛЯ ДВУХМЕРНОЙ МАТЕМАТИЧЕСКОЙ МОДЕЛИ ДИНАМИКИ СОРБЦИИ ¹

В газовой хроматографии достаточно часто используются сорбционные колонны большого диаметра. Для математического моделирования сорбционных процессов в них необходимо использовать двух- и трехмерные математические модели. При математическом моделировании процессов распространения загрязнения в грунтовых водах также возникает необходимость исследования двух- и трехмерных математических моделей сорбции и диффузии. В данной работе рассматривается математическая модель сорбции, учитывающая внутридиффузионную кинетику, продольную и поперечную диффузию [1, 2]. Для этой математической модели изучена обратная задача определения изотермы сорбции по экспериментальной выходной динамической кривой, предложены устойчивые методы решения обратной и прямой задач. Обратные задачи в случае одномерных математических моделей динамики сорбции рассмотрены, например, в работах [3]-[5].

1. Двумерная математическая модель сорбции.

Рассмотрим математическую модель сорбции, учитывающую внутридиффузионную кинетику, продольную и поперечную диффузию.

$$\varepsilon u_t + a_t + \nu u_x = D_L u_{xx} + D_T u_{yy}, \quad (x, y, t) \in Q_T, \quad (1)$$

$$a_t = \beta(\varphi(u) - a), \quad 0 \leq x \leq L, 0 < y < B, 0 < t \leq T, \quad (2)$$

$$u(0, y, t) = \mu(y, t), \quad 0 \leq y \leq B, 0 < t \leq T, \quad (3)$$

$$\lambda u_x(L, y, t) + u(L, y, t) = 0, \quad 0 \leq y \leq B, 0 < t \leq T, \quad (4)$$

$$D_T u_y(x, 0, t) = 0, D_T u_y(x, B, t) = 0, \quad 0 < x < L, 0 < t \leq T, \quad (5)$$

$$u(x, y, 0) = 0, \quad a(x, y, 0) = 0, \quad 0 \leq x \leq L, 0 \leq y \leq B. \quad (6)$$

Здесь $u(x, y, t)$, $a(x, y, t)$ – концентрации сорбата в растворе и в порах сорбента, $\varphi(\xi)$ – изотерме сорбции, ν – это скорость потока, ε – пористость сорбента, $\mu(y, t)$ – входная концентрация, β , D_L , D_T – коэффи-

¹ Работа выполнена при поддержке Российского Фонда
Фундаментальных Исследований (код проекта 08–01–0314)

циенты внутридиффузионной кинетики, продольной и поперечной диффузии, $Q_T = \{(x, y, t), 0 < x < L, 0 < y < B, 0 < t \leq T\}$.

Пусть функции $\mu(y, t)$, $\varphi(\xi)$ удовлетворяют следующим условиям

$$\mu(y, t) \in C^{0,1}[0, B] \times [0, T], \quad \mu(y, 0) = 0, \mu_t(y, t) > 0, \quad y \in [0, B], t \in [0, T], \quad (7)$$

$$\varphi(\xi) \in C^2(-\infty, \infty), \quad \varphi(0) = 0, \quad 0 < \varphi'(\xi) \leq C_1, \quad \xi \in (-\infty, \infty), \quad (8)$$

где C_1 – положительная постоянная.

Рассмотрим следующую обратную задачу. Известны функция $\mu(y, t)$, константы $\beta, D_L, D_T, \nu, \varepsilon$ и функция (экспериментальная выходная динамическая кривая)

$$f(y, t) = u(L, y, t), \quad y \in [0, B], t \in [0, T], \quad (9)$$

определить $\varphi(\xi)$, $u(x, y, t)$, $a(x, y, t)$, удовлетворяющие (1)–(6), (9).

Решением обратной задачи (1)–(6), (9) назовем функции $\varphi(\xi)$, $u(x, y, t)$, $a(x, y, t)$ удовлетворяющие (1)–(6), (8), (9) такие, что $u, a \in C^{2,1}[Q_T]$.

2. Численный метод решения обратной задачи.

Рассмотрим численный метод решения обратной задачи, основанный на дескриптивной регуляризации с градиентным методом. Будем дополнительно предполагать, что $\varphi(\xi, \lambda) \in C^{1,1}[M]$, $M = (-\infty, \infty) \times \Lambda_N$, Λ_N – компакт в R^N . Пусть дополнительная информация $f(y, t)$ задана с погрешностью δ , т.е. известны функции $f_\delta(t)$ такие, что $\|f_\delta(t) - f(t)\|_{L_2[0, T]} \leq \delta$.

Будем минимизировать невязку

$$S(\lambda) = \int_0^T \int_0^B (u(L, y, t, \lambda) - f_\delta(y, t))^2 dt dy$$

методом условного градиента с критерием $S(\lambda) \leq \delta^2$ для окончания процесса минимизации.

Здесь $u(x, y, t, \lambda)$ компонента решения краевой задачи (1)–(6), соответствующая $\varphi(\xi, \lambda)$.

Построим градиент функции $S(\lambda)$. Пусть вектору λ соответствует решение $u(x, y, t, \lambda)$, $a(x, y, t, \lambda)$, а вектору $\lambda + \Delta\lambda$ — $u(x, y, t, \lambda + \Delta\lambda)$, $a(x, y, t, \lambda + \Delta\lambda)$.

Тогда функции

$$\begin{aligned} \Delta u(x, y, t, \lambda, \Delta\lambda) &= u(x, y, t, \lambda + \Delta\lambda) - u(x, y, t, \lambda), \\ \Delta a(x, y, t, \lambda, \Delta\lambda) &= a(x, y, t, \lambda + \Delta\lambda) - a(x, y, t, \lambda) \end{aligned}$$

являются решениями задачи

$$\varepsilon\Delta u_t + v\Delta u_x - D_L\Delta u_{xx} - D_T\Delta u_{yy} + \beta(\varphi_u\Delta u + \varphi_\lambda\Delta\lambda + R - \Delta a) = 0, \quad (10)$$

$$(x, y, t) \in Q_T,$$

$$\Delta a_t = \beta(\varphi_u\Delta u + \varphi_\lambda\Delta\lambda + R - \Delta a), \quad 0 \leq x \leq L, 0 < y < B, 0 < t \leq T, \quad (11)$$

$$\Delta u(0, y, t) = 0, \quad 0 \leq y \leq B, 0 < t \leq T, \quad (12)$$

$$\lambda\Delta u_x(L, y, t) + \Delta u(L, y, t) = 0, \quad 0 \leq y \leq B, 0 < t \leq T, \quad (13)$$

$$D_T\Delta u_y(x, 0, t) = 0, \quad D_T\Delta u_y(x, B, t) = 0, \quad 0 < x < L, 0 < t \leq T, \quad (14)$$

$$\Delta u(x, y, 0) = 0, \quad \Delta a(x, y, 0) = 0, \quad 0 \leq x \leq L, 0 \leq y \leq B, \quad (15)$$

где $R = O(\|\Delta\lambda\|^2)$.

Приращение невязки равно

$$S(\lambda + \Delta\lambda) - S(\lambda) = \int_0^T \int_0^B (2(u(L, y, t, \lambda) - f_\delta(y, t))\Delta u(L, y, t) + (\Delta u(L, y, t))^2) dt dy.$$

Представим приращение невязки в более удобном виде. Рассмотрим задачу, сопряженную к (10)-(15)

$$\varepsilon\alpha_t + v\alpha_x + D_L\alpha_{xx} + D_T\alpha_{yy} + \beta\varphi_u(\eta - \alpha) = 0, \quad (x, y, t) \in Q_T, \quad (16)$$

$$\eta_t = \beta(\eta - \alpha), \quad 0 \leq x \leq L, 0 < y < B, 0 \leq t < T, \quad (17)$$

$$\alpha(0, y, t) = 0, \quad \eta(0, y, t) = 0, \quad 0 \leq t < T, \quad (18)$$

$$D_L\alpha_x(L, y, t) + (v + D_L/\lambda)\alpha(L, y, t) = 2(u(L, y, t) - f_\delta(y, t)), \quad 0 \leq y \leq B, 0 \leq t < T, \quad (19)$$

$$D_T\alpha_y(x, 0, t) = 0, \quad D_T\alpha_y(x, B, t) = 0, \quad 0 < x < L, 0 \leq t < T, \quad (20)$$

$$\alpha(x, y, T) = 0, \quad \eta(x, y, T) = 0, \quad 0 \leq x \leq L, 0 \leq y \leq B. \quad (21)$$

Учитывая (16) - (21), получим

$$\begin{aligned} I &= \int_0^T \int_0^B \int_0^L \{ \alpha(\varepsilon\Delta u_t + v\Delta u_x - D_L\Delta u_{xx} - D_T\Delta u_{yy} + \beta(\varphi_u\Delta u - \Delta a)) + \\ &+ \eta(\Delta a_t - \beta(\varphi_u\Delta u - \Delta a)) + \Delta u(\varepsilon\alpha_t + v\alpha_x + D_L\alpha_{xx} + D_T\alpha_{yy} + \\ &+ \beta\varphi_u(\eta - \alpha) + \Delta a(\eta_t - \beta(\eta - \alpha))) \} dx dy dt = \\ &= \int_0^T \int_0^B \int_0^L \{ (\varepsilon\alpha\Delta u + \eta\Delta a)_t + (v\Delta u\alpha + D_L\Delta u\alpha_x - D_L\Delta u_x\alpha)_x + \\ &+ (D_T\Delta u\alpha_y - D_T\Delta u_y\alpha)_y \} dx dy dt. \end{aligned}$$

Из начальных и граничных условий (12)-(15), (18)-(21) следует, что

$$I = \int_0^T \int_0^B (2(u(L, y, t, \lambda) - f_\delta(y, t))\Delta u(L, y, t)) dy dt.$$

С другой стороны, из уравнений (10)-(11), (16)-(17) имеем

$$I = \int_0^T \int_0^B \int_0^L \beta \varphi_\lambda \Delta \lambda (\eta - \Delta \alpha) dx dy dt.$$

Тогда приращение функционала невязки имеет вид

$$\Delta S = \int_0^T \int_0^B \int_0^L (\beta (\varphi_\lambda \Delta \lambda + R) (\eta - \alpha) + (\Delta u(L, y, t))^2 / l) dt dy dx.$$

Пренебрегая величинами второго порядка малости, получим градиент

$$S_{\lambda_i} = \int_0^T \int_0^B \int_0^L \beta \varphi_\lambda (\eta - \alpha) dt dy dx, \quad 0 \leq i \leq N. \quad (22)$$

Изотерму будем искать в виде многочленов Бернштейна

$$\varphi(\xi, \lambda) = \sum_{k=0}^N \lambda_k C_N^k \xi^k (1 - \xi)^{N-k}, \quad \lambda_0 = 0, \quad \lambda_k \leq \lambda_{k+1}, \quad \lambda_N > 0.$$

Нетрудно проверить, что соответствие между λ и $\varphi(\xi, \lambda)$ взаимно однозначно.

3. Численные методы решения прямой и обратной задачи.

Для численного решения прямой задачи (1) – (6) используем разностную схему переменных направлений (продольно - поперечная схема) [6]. В прямоугольнике $G = \{(x, y), 0 \leq x \leq L, 0 \leq y \leq B\}$ построим равномерную сетку ω_h с шагами $h_x = \frac{L}{N_x}, h_y = \frac{B}{N_y}$.

Сеточную аппроксимацию функции $u(x_i, y_j, t_n)$ назовем v_{ij}^n , а функции $a(x_i, y_j, t_n)$ — w_{ij}^n .

Переход от слоя n к слою $n+1$ совершается в два этапа с шагами $0,5\tau$. Далее будем использовать следующие обозначения для сеточных функций v_{ij}^n и w_{ij}^n :

$v_{ij}^n: v_{ij} = v_{ij}^n, w_{ij} = w_{ij}^n, \hat{v}_{ij} = v_{ij}^{n+1}, \hat{w}_{ij} = w_{ij}^{n+1}$, а так же и промежуточные значения $\bar{v}_{ij} = v_{ij}^{n+\frac{1}{2}}, \bar{w}_{ij} = w_{ij}^{n+\frac{1}{2}}$, которые рассматриваются как значения v, w при $t = t_n + \frac{\tau}{2}, \tau = \frac{T}{N_t}$.

На первом этапе решается задача для \bar{v}_{ij} и \bar{w}_{ij}

$$\begin{aligned} \varepsilon \frac{\bar{v}_{ij} - v_{ij}}{0,5\tau} + \beta (\varphi(v_{ij}) - w_{ij}) + \frac{v(v_{i+1j} - v_{ij})}{h_x} &= \\ = D_L \frac{v_{i-1j} - 2v_{ij} + v_{i+1j}}{h_x^2} + D_T \frac{\bar{v}_{ij-1} - 2\bar{v}_{ij} + \bar{v}_{ij+1}}{h_y^2} & \quad 1 < i < N_x, 1 < j < N_y, \end{aligned} \quad (23)$$

$$\frac{\bar{w}_{ij} - w_{ij}}{0.5\tau} = \beta(\varphi(v_{ij}) - \bar{w}_{ij}), \quad 1 \leq i \leq N_x, 1 \leq j \leq N_y, \quad (24)$$

с граничными и начальными условиями

$$\bar{v}_{i1} = \bar{v}_{i2}, \quad \bar{v}_{iN_y} = \bar{v}_{iN_y-1}, \quad v_{ij}^0 = w_{ij}^0 = 0, \quad 1 \leq i \leq N_x, 1 \leq j \leq N_y. \quad (25)$$

Уравнение (23) можно решить методом прогонки по второй переменной .

На втором этапе решаем задачу

$$\begin{aligned} \varepsilon \frac{\hat{v}_{ij} - \bar{v}_{ij}}{0.5\tau} + \beta(\varphi(\bar{v}_{ij}) - \hat{w}_{ij}) + \frac{v(\hat{v}_{i+1j} - \hat{v}_{ij})}{h_x} = \\ = D_L \frac{\hat{v}_{i-1j} - 2\hat{v}_{ij} + \hat{v}_{i+1j}}{h_x^2} + D_T \frac{\bar{v}_{ij-1} - 2\bar{v}_{ij} + \bar{v}_{ij+1}}{h_y^2}, \quad 1 < i < N_x, 1 < j < N_y, \end{aligned} \quad (26)$$

$$\frac{\hat{w}_{ij} - \bar{w}_{ij}}{0.5\tau} = \beta(\varphi(\bar{v}_{ij}) - \hat{w}_{ij}), \quad 1 \leq i \leq N_x, \quad 1 \leq j \leq N_y \quad (27)$$

с граничными условиями

$$\hat{v}_{1j} = \mu(y_j, t_{j+1/2}), \quad \hat{v}_{N_x-1j} = \hat{v}_{N_xj} \left(1 + \frac{h_x}{\lambda}\right), \quad 1 \leq j \leq N_y. \quad (28)$$

И находим v_{ij}^n и w_{ij}^n . Уравнение (26) теперь решается вдоль первой переменной.

Для численного решения обратной задачи (1)–(6), (9) аналогично прямой строились разностные уравнения, сеточные аппроксимации граничных и начальных условий для сопряженной задачи (16) - (21) и для изотермы $\varphi(\xi, \lambda)$ определялись функции $\alpha(x, y, t)$ и $\eta(x, y, t)$. Неизвестные коэффициенты Бернштейна определялись из условия минимума функционала (22).

4. Численный эксперимент.

Для известных функций $\mu(t)$, $\varphi(\xi)$ решалась задача (1)–(6) и определялась функция $f(t) = u(L, y, t)$. Затем строилась выходная динамическая кривая $f_\delta(t) = f(t) + \varepsilon \alpha(t)$, где $\alpha(t)$ случайная величина, равномерно распределенная на $[-1, 1]$, ε – погрешность эксперимента. Функции $f_\delta(t)$ использовались как исходная информация для решения обратной задачи предложенным методом. Численный эксперимент проводился для функций $\mu(y, t) = \frac{t}{t+1}$, $\varphi_{test 1}(u) = \frac{2u}{1+u}$, $\varphi_{test 2}(u) = \frac{6u}{1+5u}$ и параметров $\beta = 1$,

$$D_L = 0.1, D_T = 1, N_x = 200, N_y = 10, N_t = 100, L = 100, B = 1, T = 100, \lambda = 1.$$

На рис. 1 представлены результаты численного решения прямой задачи (1)-(6) методом конечных разностей. Графики даны для функции $u(x, y, t)$ при $0 < x < 150, 0 < t \leq 100$ в точке $y = 0,5$ при $\varphi_{test}(u) = \frac{2u}{1+u}$.

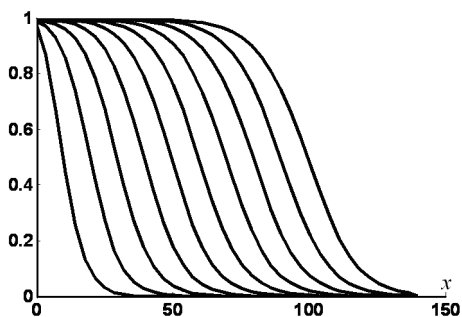


рис.1

На рис. 2, 4 представлены выходные кривые $f_\delta(t)$ с $\varepsilon = 0,01$ и $\varepsilon = 0,05$ соответственно. На рис. 3, 5 – результаты восстановления функции $\varphi_{test}(u) = \frac{2u}{1+u}$ градиентным методом, соответствующие этим выходным кривым. В первом случае $S = 0.0036581$, во втором $S = 0.07575$.

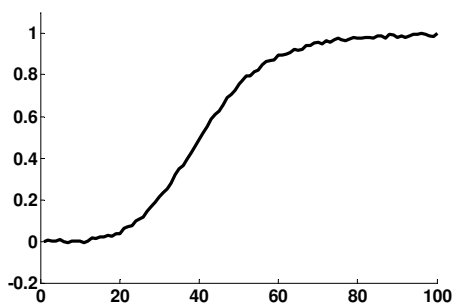


рис.2

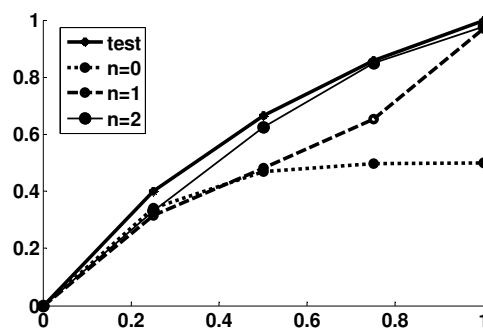


рис.3

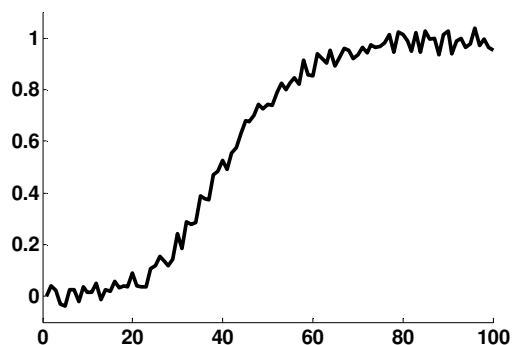


рис.4

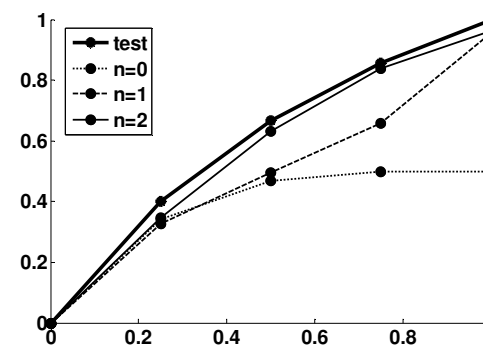


рис.5

На рис. 6 выходная кривая $f_{\delta}(t)$ с $\varepsilon = 0,1$ и на рис.7 первые три итерации восстановления функции $\varphi_{test}(u) = \frac{6u}{1+5u}$. Здесь $S = 0,0998$.

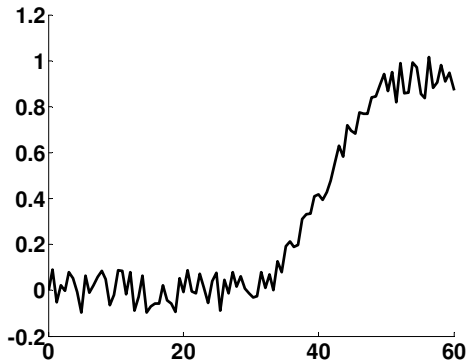


рис.6

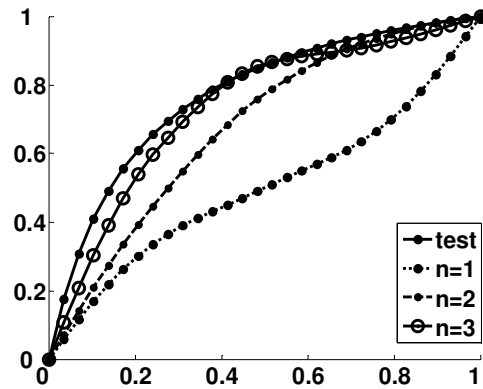


рис.7

Приведенные результаты показывают эффективность предложенного алгоритма решения этой обратной задачи.

Литература.

1. Золотарев П.П. Проблемы теории динамики сорбции и хроматографии в неподвижных слоях//ЖФХ. 1985. Т.59. №6.С. 1342–1351.
2. A.Buikis, Z.Rusakevich, N. Ulanova Modelling of the convective diffusion process with nonlinear sorption in multi-layered aquifer//Transport in Porous Media.1995. V.19. P.1-13
3. Денисов А.М. О единственности решения некоторых обратных задач для нелинейных моделей процессов динамики сорбции// Условно-корректные задачи математической физики и анализа. Новосибирск: Наука. 1992. С.73–84.
4. Туйкина С.Р., Соловьева С.И. О численном определении коэффициентов некоторых математических моделей неізотермической динамики сорбции// Прикладная математика и информатика. №33.М.:МАКС Пресс. 2009.С.5-12
5. Туйкина С.Р. О решении некоторых обратных задач динамики сорбции градиентными методами// Вестн. Моск. ун-та. Сер.15 ,Вычисл. матем. и киберн., 1990, №4, с.33-39.
6. А.А. Самарский Теория разностных схем. Москва: Наука. 1983. С.616.